

# •基础研究•

## SARS-CoV X4 基因转染对 T 细胞 TNF- $\alpha$ 及 IL-6 分泌的影响\*

王青<sup>1,2</sup> 曾耀英<sup>1\*</sup> 何贤辉<sup>1</sup> 肇静娴<sup>1</sup> 王通<sup>1</sup>

(1 暨南大学组织移植与免疫学教育部重点实验室 广州 510632 2 广州中医药大学免疫研究室 广州 510405)

**摘要** 目的:通过检测 SARS-CoV X4 基因转染后 T 细胞细胞因子分泌的变化,研究 SARS-CoV X4 蛋白潜在的功能及其作用机制,并探讨其与 SARS-CoV 致病机制的关系。方法:利用 RosetteSep 分离法分离外周血 T 细胞,以 Amaxa 核转染仪将 pEGFP-SARS-CoV X4 真核表达载体转入 T 细胞,应用激光共聚焦显微镜观察其瞬时表达情况,流式细胞仪检测转染效率,CBA 技术检测 T 细胞细胞因子。结果:SARS-CoV X4 基因转染后 12h 得到了明显表达,共聚焦显微镜观察到 EGFP 绿色荧光表达,流式细胞仪检测其表达率为 245;与空载体转染组相比,SARS-CoV X4 基因转染能显著促进 T 细胞 IL-6 及 TNF- $\alpha$  的分泌。结论:SARS-CoV X4 蛋白可诱导 T 细胞分泌前炎症因子 IL-6 及 TNF- $\alpha$ ,SARS-CoV X4 蛋白可能在 SARS 发病机制中起重要的作用。

**关键词:** 严重急性呼吸综合症; 冠状病毒; 基因转染; 细胞因子; T 淋巴细胞

中图分类号: R563 文献标识码: A

### Study on cytokine secretion of T cell after SARS-CoV X4 gene transfection

WANG Qing<sup>1,2</sup>, ZENG Yao-ying<sup>1\*</sup>, HE Xian-hui<sup>1</sup>, ZHAO Jing-xian<sup>1</sup>, WANG Tong<sup>1</sup>

1. Key Laboratory of Tissue Transplantation and Immunology, Ministry of Education, Jinan University, Guangzhou, 510632, China;

2. Department of Immunology, Guangzhou University of Traditional Chinese Medicine, Guangzhou 510405, China

**ABSTRACT Objective:** To explore the function of the SARS-CoV X4 protein and its role in SARS pathogenesis, by detecting the change of cytokine secretion of T cells after transfection of SARS-CoV X4 gene. **Methods:** T cells were transfected with pEGFP-SARS-CoV X4 expression vector by Amaxa Nucleofector, and the green fluorescence of EGFP were detected with flow cytometry and confocal microscopy; The production of cytokine were investigated by Cytometry Beads Assay. **Results:** The green fluorescence of EGFP could be detected by with flow cytometry, confocal microscopy; the secretion of IL-6 and TNF- $\alpha$  increased remarkably in SARS-CoV X4 transfection group. **Conclusion:** SARS-CoV X4 can promote T cells to secrete preinflammatory cytokine IL-6 and TNF- $\alpha$ ; it may play an important role in the pathogenesis of SARS.

**Key Words:** Severe acute respiratory syndrome(SARS); Coronavirus; Gene transfection; Cytokine; T-lymphocytes

## 前言

严重急性呼吸综合症(severe acute respiratory syndrome),又称非典型肺炎,研究发现其是由一种全新的冠状病毒(SARS coronavirus)引起的<sup>[1-2]</sup>。通过对 SARS CoV 进行测序和分析,证实 SARS CoV 为单链正义 RNA,有 11 个开放阅读框(ORF),其中 ORF8 编码的序列为未知基因 X4,其产物 X4 蛋白为包含 122 个氨基酸残基的未知功能蛋白,经 BLAST 和 FASTA 分析无法找到同源序列或蛋白<sup>[3-4]</sup>。虽然该蛋白是一个从 DNA 序列推定的功能未知的蛋白,但可能在病毒复制、发病机制及免疫应答等方面具有潜在的作用,值得深入研究<sup>[5-6]</sup>。本实验利用细胞核转染技术将 SARS-CoV X4-EGFP 融合蛋白基因表达载体转染 T 细胞,通过检测 T 细胞分泌细胞因子的变化,旨

在研究 SARS-CoV X4 蛋白潜在的功能,并探讨其在 SARS 发病机制的作用。

## 1 材料与方法

### 1.1 主要试剂:

德国 Amaxa 公司:优化 T 细胞转染 Kit(Optimized protocol human T Cell nucleofector™ kit);美国 PharMingen 公司: Cytometric Bead Array(CBA)kit;鼠抗人单克隆抗体 anti-hCD3-PE(phycoerythrin, 荧光蛋白);真核表达载体 pEGFP-N1 购自 ClonTech;Sigma 公司:碘化丙啶(Propidium, PI);上海试剂二厂:淋巴细胞分离液; RPMI-1640 完全培养液:10% 胎牛血清(GIBCO), 2mmol/L L-glutamine(Sigma), 100U/ml 青霉素, 100μg/mL 链霉素, 50μmol/L β-巯基乙醇(Sigma), RPMI-1640 培养液

\* 基金项目:国家重点基础研究发展计划项目(973)基金(NO. G1999054303)和国家自然科学基金重点项目(NO. 30230350)资助。

作者简介:王青(1977-),男,硕士,助教,主要从事细胞免疫及免疫药理研究

\* 通讯作者:曾耀英,510632, E-mail: ozms@jnu.edu.cn

(收稿日期 2006-04-20 接受日期: 2006-05-13)

(GIBCO)。

### 1.2 人外周血T细胞分离:

取正常健康志愿者外周血于肝素抗凝管,加入RosetteSep分离液(50 μL/mL全血),充分混匀,室温静置30分钟,以等倍体积PBS稀释,充分混匀后小心加到淋巴分离液上,以20℃、2000rpm离心20分钟,取中间单核细胞层,用PBS洗两次(4℃,1500rpm,15min),然后用RPMI-1640完全培养液调整细胞数为2-4×10<sup>6</sup>/mL。

### 1.3 SARS-CoV X4基因合成:

由本实验室合成和鉴定。质粒以Qiogen高纯度试剂盒纯化,无内毒素,A260/A280>1.8。

### 1.4 T淋巴细胞转染及培养:

收集细胞,调整细胞数为2×10<sup>6</sup>/100μL转染溶液,采用Optimized protocol human T Cell nucleofector<sup>TM</sup> kit,用Amaxa细胞核转染仪将载体转入T细胞,具体操作按Amaxa建议的操作程序及其试剂盒说明书进行。整个过程在20分钟内完成,以减少细胞死亡率,提高转染效率。将转染后的T细胞接种到12孔培养板内,每孔加入含体积分数为10%胎牛血清(FBS)的RPMI1640完全培养基2ml,在37℃、体积分数为5%的CO<sub>2</sub>培养箱中培养。

### 1.5 激光共聚焦显微镜观测EGFP表达:

收集转染后的T细胞,封于载玻片上,以激光共聚焦显微镜(High Speed Confocal Microscope, Perkin Elmer)进行活细胞观察,激发光为488 nm,细胞产生的荧光以冷CCD扫描成像,并以伪彩色(绿色)显示荧光。

### 1.6 Cytometric Bead Array (CBA)检测细胞因子:

细胞培养12h后,收集细胞,以20℃、1500rpm离心5分钟,收集上清,待测。检测时按CBA试剂盒说明进行,首先将捕获微球和PE检测试剂加入管中,然后把各细胞因子标准品等

倍稀释与待测样品分别加入各管,室温避光孵育3h,用洗液洗一遍,重悬于300μL洗液,上流式细胞仪分析。

### 1.7 免疫荧光染色:

采用直接免疫荧光抗体标记法染色。取各孔培养的细胞,用PBS洗涤2次,离心浓缩成50μL,分别加入anti-hCD3 mAb-PE10μL,室温下避光放置30min,再用PBS洗涤2次,最后用400μLPBS重悬细胞并加入PI溶液5μL,染色5分钟,进行流式细胞仪检测。

### 1.8 流式细胞仪分析:

全部数据经FACSCalibur流式细胞仪及CELLQuest软件获取和分析。先在前散射(Forward scatter, FSC)和侧散射(Side scatter, SSC)的二维散点图中划出淋巴细胞区,再经FL2和FL3的二维散点图排除死细胞,然后对活的T细胞作EGFP荧光强度检测,每管样品检测10 000个细胞。数据显示于直方图中,获得数据用CELLQuest软件分析。细胞因子数据的获取及分析采用BD公司CBA分析软件。

### 1.9 统计学分析:

全部数据使用统计软件包SPSS 11.0 for Windows进行处理,数据以均数±标准差(x±s)表示,两组间比较用非配对Student's t-test。

## 2 结果

### 2.1 T细胞的纯度鉴定:

取得高纯度T细胞是研究T细胞行为的前提,本实验中我们采用RosetteSep分离液分离外周血T细胞。RosetteSep分离液是由多种抗体组成的混合液,能有效去除非T细胞。经RosetteSep分离后T细胞纯度为92.80±1.92%,而未经纯化的外周血单个核细胞中T细胞约为63.29±5.40%。图1为一次实验结果的典型图。

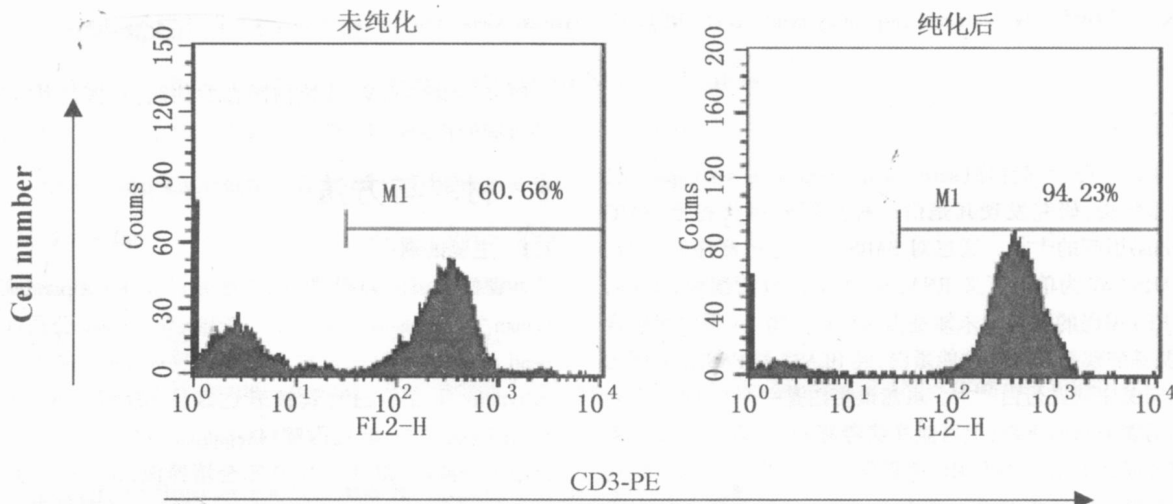


图1 RosetteSep分离纯化T细胞的FACS分析。

Fg 1 Flow cytometric analysis of purity of T lymphocyte population isolated with RosetteSep

### 2.2 SARS-CoV X4-EGFP融合蛋白在T细胞中的表达及亚细胞定位:

共聚焦显微镜观察发现,SARS-CoV X4融合蛋白分布于

整个细胞,在表达水平较高的细胞可见细胞核中的荧光较亮(图2C);而空载体的EGFP则均匀地分布于整个细胞(图2B),未转染组则无任何荧光(图2A)。

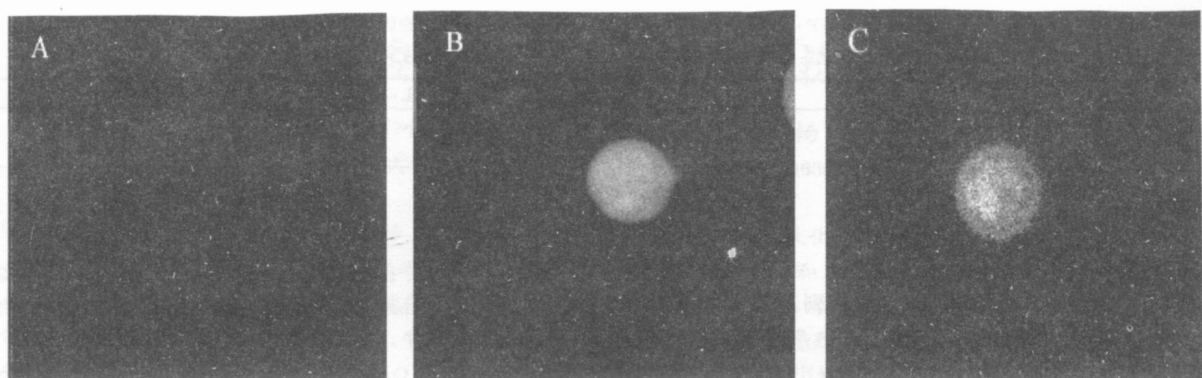


图2 激光共聚焦显微镜观察转染 pEGFP-SARS X4 的T细胞中绿色荧光的分布(×1000)

Fig 2 Laser scanning confocal microscopy analysis of green fluorescence distribution in pEGFP-SARS X4 transfected T cells(×1000)

A control; B pEGFP-N1; C pEGFP-SARS-CoV X4

### 2.3 流式细胞仪检测 SARS X4- EGFP 融合蛋白在 T 细胞中的表达率:

将转染后的 T 细胞继续培养, 12h 后用流式细胞仪检测

SARS-CoV X4- EGFP 的转染率可达 24% (图3 C); pEGFP 组转染率为 41% (图3 B), 而对照组没有绿色荧光蛋白表达(图3 A)。

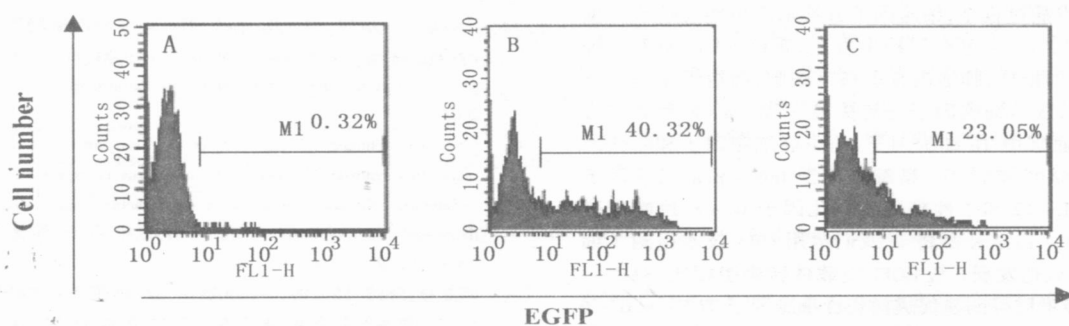


图3 流式细胞仪分析经 pSARS X4- EGFP 转染的 T 细胞 EGFP 绿色荧光表达水平

Fig 3 Flow cytometry analysis of the expression of EGFP fluorescence in T cells transfected with pEGFP-SARS-CoV X4 vector

A control B pEGFP-SARS-CoV X4 C pEGFP-N1

### 2.4 SRAS X4 基因转染后 T 细胞分泌细胞因子的变化:

图4 所示为 CBA 检测细胞因子表达谱的荧光强度散点图, 纵轴从上至下分别代表细胞因子 IL-2、IL-4、IL-6、IL-10、TNF- $\alpha$  和 IFN- $\gamma$ , 横轴表示各细胞因子的荧光强度。由图

4表1可见, pEGFP-SARS-CoV X4 转染组 T 细胞分泌 IL-6 及 TNF- $\alpha$  的浓度显著高于 pEGFP 组( $P < 0.01$ ), 而其它细胞因子浓度则没有明显差异。

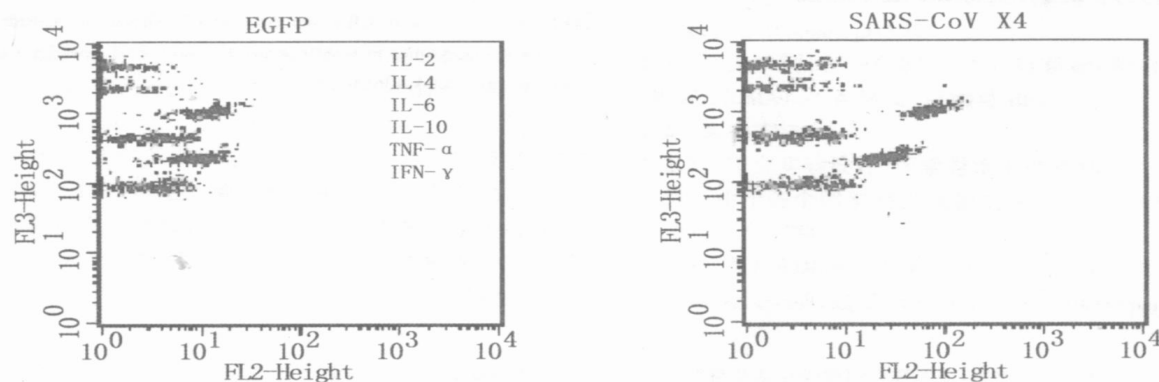


图4 CBA 分析结果代表图

Fig 4 Representative result of cytometric bead array analysis in culture supernatants of T cells transfected with pEGFP-N1 or pEGFP-SARS X4 vector for 12h

表 1 pEGFP- N1 及 pEGFP- SARS X4 转染 T 细胞后细胞因子分泌的变化

Table 1 Changes of cytokine profile on T cells transfected with pEGFP- N1 and pEGFP- SARS X4 ( $\bar{x} \pm s$ , n= 3, pg/mL)

Group	IL- 2	IL- 4	IL- 6	IL- 10	TNF- $\alpha$	IFN- $\gamma$
EGFP	$\leq 20$	$\leq 20$	$\leq 20$	$\leq 20$	$\leq 20$	$\leq 20$
SARS X4	$\leq 20$	$\leq 20$	$125.7 \pm 4.2^*$	$\leq 20$	$47.4 \pm 3.3^*$	$\leq 20$

<sup>\*</sup> P< 0.01 vs EGFP 组

### 3 讨论

SARS- CoV X4 基因是一未知功能序列, 经其编码产物 X4 蛋白功能不祥, 已证实在 X4 蛋白在 SARS 患者肺病变组织中有表达, 并推测其在肺部的表达可能与 SARS 肺组织弥漫性损伤的发生发展有关<sup>[6~7]</sup>。除肺组织外, SARS 患者多种免疫细胞中有 SARS- CoV 表达, 这间接提示 X4 蛋白可能在这些细胞中表达, 并参与 SARS 发病的免疫学机制<sup>[8~9]</sup>。我们的实验结果显示, 转染后 SARS- CoV X4- EGFP 融合蛋白可在原代 T 细胞中表达, 12h 表达率为 24%; 经共聚焦显微镜观察, SARS- CoV X4- EGFP 融合蛋白分布于整个细胞中, 主要定位于细胞浆和细胞核, 并没有膜分布的趋向。

在 SARS 发病过程中, 细胞因子分泌紊乱可能是造成肺损伤的重要原因。Peiris 等在尸检中发现, 重症 SARS 患者的肺组织都有明显的损伤, 肺泡内有多核巨细胞, 肺组织中有吞噬红细胞的现象, 提示细胞因子分泌失控<sup>[10]</sup>。Wong CK 等通过检测 SARS 患者血浆中 Th 细胞因子、前炎症细胞因子和趋化因子水平, 发现 SARS 患者 Th1 型细胞因子 IFN-  $\gamma$ 、前炎症因子 IL- 1、IL- 6、IL- 12 和中性粒细胞趋化因子 IL- 8、巨噬细胞趋化蛋白(MCP- 1) 显著增高<sup>[11]</sup>。我们运用 CBA 技术检测 T 细胞细胞因子谱表达发现, 与 EGFP 空载体转染组相比, SARS- CoV X4 基因转染后可明显促进前炎症细胞因子 TNF-  $\alpha$ 、IL- 6 分泌。这些结果提示 SARS- CoV X4 蛋白很可能调节某些前炎症细胞因子基因的表达, 而这些前炎症细胞因子基因的过度表达则可能是造成 SARS 患者肺损伤的重要病理基础。因此我们推测 SARS- CoV X4 基因表达可能在 SARS- CoV 感染患者肺损伤发病机制中起重要作用。

总之, 我们的研究表明, SARS- CoV X4- EGFP 融合蛋白基因能在 T 细胞中表达, 主要分布在胞浆及细胞核, 并能促进细胞因子 IL- 6 和 TNF-  $\alpha$  分泌。对 SARS- CoV X4 蛋白功能的进一步深入研究, 有助于解释 SARS 致病机理。

### 参 考 文 献

- [1] Peiris J SM, Lai ST, Poon LLM, et al. Coronavirus as a possible cause of severe acute respiratory syndrome [J]. Lancet, 2003, 361(9366): 1319~ 1325
- [2] Drosten C, Gunther S, Preiser W, et al. Identification of a novel coronavirus in patients with severe acute respiratory syndrome[J]. N Engl J Med, 2003, 348(20): 1967~ 1976
- [3] Marra MA, Jones SJM, Astell CR, et al. The Genome Sequence of the SARS-associated Coronavirus[J]. Science, 2003, 300(5624): 1399~ 1404
- [4] Rota PA, Oberste MS, Monroe SS, et al. Characterization of a novel coronavirus associated with severe acute respiratory syndrome[J]. Science, 2003, 300(5624): 1394~ 1399
- [5] Shuang B, Liu SI, Han P, et al. The X4 protein of SARS-associated coronavirus can induce earlier antibody response in the serum of SARS patients. International Symposium on the Pathogenesis of SARS. Beijing, 2003
- [6] Chen YY, Shuang B, Tan YX, et al. The protein X4 of severe acute respiratory syndrome-associated coronavirus is expressed on both virus-infected cells and lung tissue of severe acute respiratory syndrome patients and inhibits growth of Balb/c 3T3 cell line. Chin Med J ( Engl), 2005, 118:267~ 274
- [7] 谭亚夏, 陈涛, 钟淑卿, 等. SARS- CoV X4 蛋白在 SARS 患者肺组织中的表达及其意义. 中华内科杂志, 2006, 45(3): 196~ 198
- [8] Li L, Wo J, Shao J, et al. SARS- coronavirus replicates in mononuclear cells of peripheral blood (PBMCs) from SARS patients[J]. J Clin Virol, 2003, 28(3): 239~ 244
- [9] Wang H, Mao Y, Ju L, et al. Detection and monitoring of SARS coronavirus in the plasma and peripheral blood lymphocytes of patients with severe acute respiratory syndrome[J]. Int J Mol Med, 2004, 14(2): 311~ 315
- [10] Nicholls JM, Poon LLM, Lee KC, et al. Lung pathology of fatal severe acute respiratory syndrome [J]. Lancet, 2003, 361(9371): 1773~ 8
- [11] Wong CK, Lam CW, Wu AK, et al. Plasma inflammatory cytokines and chemokines in severe acute respiratory syndrome[J]. Clin Exp Immunol, 2004, 136(1): 95~ 103